

Sprawozdanie
„Współbieżna eliminacja Gaussa”
Teoria Współbieżności

gr. śr 17:50

24.11.2021

1. Cel ćwiczenia

Zadanie polega na wykonaniu współbieżnej eliminacji Gaussa. W tym celu najpierw należy zastosować teorie śladów do stworzenia odpowiedniej kolejności wykonywania zadań. Następnie należy zaimplementować program wykonujący eliminację Gaussa współbieżnie zgodnie z postacią normalną Foaty. Eliminacje przeprowadzamy na macierzy $N \times N$.

2. Notacja

Najpierw określmy jak wygląda problem do rozwiązania. Mamy macierz kwadratową o rozmiarze N oraz wektor wyrazów wolnych. Macierz wraz z wektorem zapisujemy do jednej macierzy o rozmiarze $N \times (N+1)$ oraz wprowadzamy odpowiednie oznaczenia pól tej macierzy. Pole leżące w i -tym wierszu i j -tej kolumnie będziemy oznaczać jako $M_{i,j}$. Macierz wygląda następująco:

$$\begin{pmatrix} M_{1,1} & M_{1,2} & \cdots & M_{1,N} & M_{1,N+1} \\ \vdots & \vdots & \ddots & \vdots & \vdots \\ M_{N,1} & M_{N,2} & \cdots & M_{N,N} & M_{N,N+1} \end{pmatrix}$$

Wektor wyrazów wolnych to $\langle M_{1,N+1}, M_{2,N+1}, M_{3,N+1}, \dots, M_{N,N+1} \rangle$.

3. Analiza zadań

Napiszę pseudo-kod realizujący eliminację Gaussa dla powyższej macierzy i określę zadania.

- (a) for i in 1 to N :
- (b) for k in $i+1$ to N :
- (c) $m(i, k) = M_{k,i} / M_{i,i}$
- (d) for j in i to $N+1$:
- (e) $d(i, j, k) = M_{i,j} * m(i, k)$
- (f) $M_{k,j} -= d(i, j, k)$

Widzimy, że wykonuje się trzy rodzaje niezależnych zadań. Nazwę je i opiszę poniżej.

$A_{i,k}$ (linijka c) – wyznaczenie mnożnika dla odejmowania od k -tego wiersza i -tego wiersza.

$B_{i,j,k}$ (linijka e) – wymnożenie j -tego elementu z wiersza i z mnożnikiem z zadania $A_{i,k}$.

$C_{i,j,k}$ (linijka f) – odjęcie obliczonej wartości w zadaniu $B_{i,j,k}$ od $M_{k,j}$.

Wyzaczyliśmy trzy klasy zadań A , B i C . Po opisie od razu zauważamy, że zadanie B korzysta z wyniku zadania A , natomiast zadanie C z wyniku zadania B .

4. Alfabet w sensie teorii śladów

Analizując pseudokod z punktu 3 możemy zapisać alfabet naszego zadania.

$$\Sigma = \{A_{i,k}, B_{i,j,k}, C_{i,j,k} : i \in \{1, \dots, N-1\}; j \in \{i, \dots, N+1\}; k \in \{i+1, \dots, N\}\}$$

Ograniczenia dla indeksów wynikają z następujących faktów:

- $i \rightarrow$ i wskazuje na indeks lewego górnego rogu podmacierzy w trakcie wykonywania eliminacji Gaussa, i nie osiąga N bo dla jedno elementowej macierzy nie wykonujemy eliminacji.
- $j \rightarrow$ j wskazuje na numer kolumny w podmacierzy w której wykonujemy eliminację, zaczynamy od i bo tam zaczyna się podmacierz i sięgamy do końca macierzy, a więc do $N+1$.
- $k \rightarrow$ k to numer wiersza od którego odejmujemy i -ty wiersz, wiersze te znajdują się pod i -tym więc dlatego indeks przebiega od $i+1$, przechodzimy do końca więc do N .

5. Słowo w sensie teorii śladów

Postać słowa zapiszę za pomocą pseudokodu, który je generuje.

- (a) ω = empty list
- (b) for i in 1 to N :
- (c) for k in $i+1$ to N :
- (d) $\omega.append(A_{i,k})$
- (e) for j in i to $N+1$:
- (f) $\omega.append(B_{i,j,k})$
- (g) $\omega.append(C_{i,j,k})$
- (h) return ω

Możemy zauważyć pewną intuicję jak to jest generowane. Najpierw pętla po i wyznacza nam podmacierz na której działamy. Następnie dla każdej takiej podmacierzy przechodzimy po jej wierszach od $i+1$ do końca macierzy. Dla każdego wiersza obliczamy mnożnik i odejmujemy wiersz i przemnożony przez ten mnożnik. Kluczowa jest obserwacja podziału zadania na podmacierze, ponieważ będę z niej korzystał podczas wyznaczania relacji zależności.

6. Relacje zależności i niezależności

Zajmę się określeniem relacji zależności poprzez wyznaczenie kilku zbiorów, które w sumie dadzą nam relację zależności. Zacznę od najprostszych relacji które wynikają wprost z określenie trzech klas zadań. W punkcie 3 zauważyłem, że zadanie $B_{i,j,k}$

korzysta z liczby obliczonej w zadaniu $A_{i,k}$, a zadanie $C_{i,j,k}$ korzysta z liczby obliczonej w zadaniu $B_{i,j,k}$. Z tej obserwacji wynikają następujące relacje.

$$D_1 = \{(A_{i,k}, B_{i,j,k}) : i \in \{1, \dots, N-1\}; j \in \{i, \dots, N+1\}; k \in \{i+1, \dots, N\}\}$$

$$D_2 = \{(B_{i,j,k}, C_{i,j,k}) : i \in \{1, \dots, N-1\}; j \in \{i, \dots, N+1\}; k \in \{i+1, \dots, N\}\}$$

D_1 mówi, że aby przemnożyć przez mnożnik najpierw potrzebujemy obliczyć mnożnik. D_2 pokazuje, że aby odjąć odpowiednią wartość, najpierw trzeba ją obliczyć.

Aby wyznaczyć kolejne relacje zależności zastanówmy się nad tym problemem podobnie jak w zadaniu z licznikami. Określę dla każdego zadania jakie elementy tablicy potrzebują i jakie zmieniają. Najpierw przypomnę równania występujące w eliminacji Gaussa.

- $A_{i,k} \rightarrow m(i, k) = M_{k,i} / M_{i,i}$
- $B_{i,j,k} \rightarrow d(i, j, k) = M_{i,j} * m(i, k)$
- $C_{i,j,k} \rightarrow M_{k,j} = M_{k,j} - d(i, j, k)$

Z równań tych wprost wynikają zależności ze zbiorów D_1 i D_2 , biorą się one z obliczanych wartości m i d . Z racji że każda wartość m i d z konkretnymi indeksami jest obliczana tylko raz i zależności z nią związane są już wypisane, więc nie będziemy się już nimi zajmować. Na podstawie równań uzupełnię tabelkę.

Zadanie	Elementy odczytywane	Elementy zmieniane
$A_{i,k}$	$M_{k,i}, M_{i,i}$	-
$B_{i,j,k}$	$M_{i,j}$	-
$C_{i,j,k}$	$M_{k,j}$	$M_{k,j}$

A więc widzimy, że w każdej parze zadań zależnych jedno z nich będzie należało do klasy C, ponieważ tylko w tej klasie zmieniana jest wartość w macierzy. Relacja zachodzi pomiędzy zadaniem z klasy C a zadaniem z klasy X jeśli zadanie X odczytuje element zmieniony przez zadanie z klasy C. Elementem zmienianym jest zawsze $M_{k,j}$. Zastanówmy się więc nad trzema możliwościami.

Relacja pomiędzy C i A.

Zadanie $A_{i,k}$ odczytuje pole $M_{k,i}$, a więc mamy następujące pary:

$$D_3 = \{(C_{i,j,k}, A_{j,k}) : i \in \{1, \dots, N-1\}; j \in \{i, \dots, N+1\}; k \in \{i+1, \dots, N\}\}$$

Zadanie $A_{i,k}$ odczytuje pole $M_{i,i}$, a więc mamy następujące pary:

$$D_4 = \{(C_{i,k,k}, A_{k,t}) : i \in \{1, \dots, N-1\}; k \in \{i+1, \dots, N-1\}; t \in \{k+1, \dots, N\}\}$$

Relacja pomiędzy C i B.

Zadanie $B_{i,j,k}$ odczytuje pole $M_{i,j}$, a więc mamy następujące pary:

$$D_5 = \left\{ (C_{i,j,k}, B_{k,j,t}) : i \in \{1, \dots, N-1\}; k \in \{i+1, \dots, N-1\}; \right. \\ \left. j \in \{k, \dots, N+1\}; t \in \{k+1, \dots, N\} \right\}$$

Relacja pomiędzy C i C.

Zadanie $C_{i,j,k}$ odczytuje pole $M_{k,i}$, a więc mamy następujące pary (indeks t większy równy i, bo pozostałe załatwia nam symetria):

$$D_6 = \left\{ (C_{i,j,k}, C_{t,j,k}) : i \in \{1, \dots, N-1\}; t \in \{i, \dots, N-1\}; \right. \\ \left. j \in \{t, \dots, N+1\}; k \in \{t+1, \dots, N\} \right\}$$

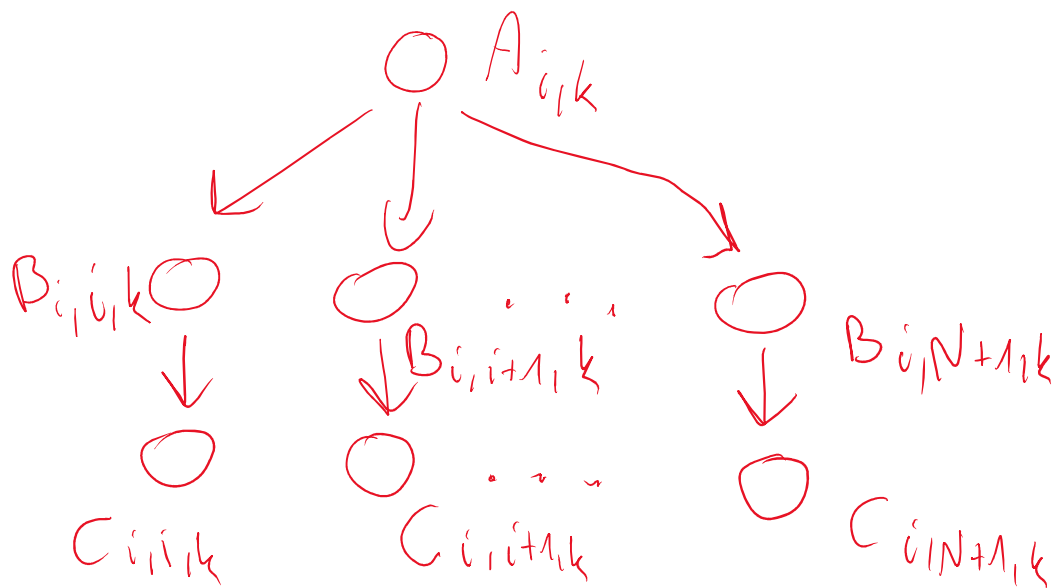
Rozważyliśmy wszystkie możliwości a więc ostatecznie otrzymujemy.

$$D = \text{sym}((D_1 \cup D_2 \cup D_3 \cup D_4 \cup D_5 \cup D_6)^+) \cup \text{id}_\Sigma \\ I = \Sigma^2 \setminus D$$

7. Graf zależności

Aby poprawnie zredukować krawędzie do postaci grafu Dickerta potrzebujemy zauważyć kilka istotnych faktów. Moje obserwacje będą oparte na podmacierzach naszego problemu, a pojęcie to wprowadziłem wyżej. Z oczywistych względów krawędzie powstałe poprzez przechodniość nie interesują nas w minimalnym grafie.

Najpierw będę chciał pokazać, że zadania wykonywane na danej podmacierzy tworzą pewien podgraf, dla którego jeśli zastosujemy krawędzie wynikające ze zbioru D_1 i D_2 to krawędzi tych nie da się zredukować w grafie zależności.



Rysunek 1: Przykładowy element k podgrafu dla podmacierzy i.

Podgraf ten składa się z elementów takich jak w rysunku 1 dla kolejnych k. Jeden taki element dla ustalonego k możemy zapisać formalnie.

$$E_{i,k} = \{(A_{i,k}, B_{i,j,k}), (B_{i,j,k}, C_{i,j,k}) : j \in \{i, \dots, N+1\}\}$$

Natomiast cały podgraf to suma po tych elementach.

$$P_i = \bigcup_{k=i+1}^N E_{i,k}$$

Zauważmy, że w słowie ω graf ten jest prezentowany jako spójna część, więc wszystkie ścieżki rozpoczynające się w naszym podgrafie po wyjściu z niego już do niego nie wracają. Więc widzimy, że na pewno nie możemy tego podgrafu zredukować. Pytanie więc nasuwa się, czy nie pominęliśmy jakiejś krawędzi w tym podgrafie. Patrząc na kolejność tych zadań w słowie, rozpatrzmy kolejne możliwości łączenia krawędzi z różnych klas:

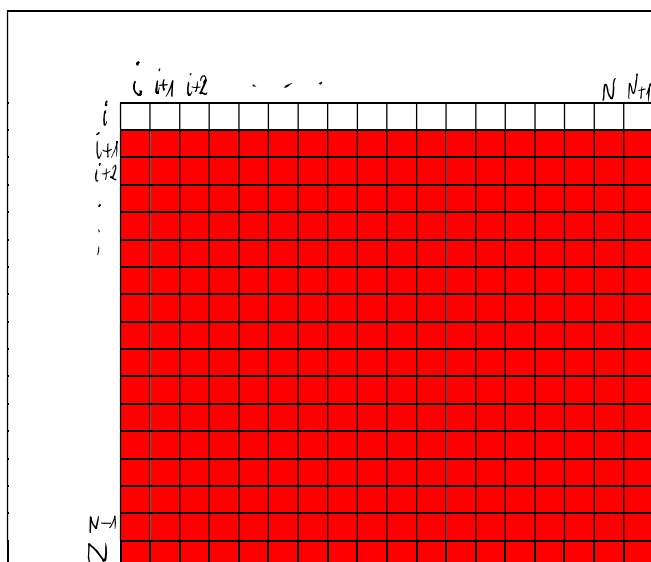
- $A \times A$ – zadania A w danej podmacierzy są między sobą niezależne (odczytują wspólnie jedno pole, które się nie zmienia).
- $B \times B$ – niezależne między sobą, odczytują pola, które się nie zmieniają w trakcie działania dla danej podmacierzy.
- $C \times C$ – każde z zadań C działa na innym polu macierzy. Dodatkowo patrząc na zbiór D_6 widzimy że występujące trójki indeksów nie dają pary należącej do tego zbioru.
- $A \times B$ – wszystkie krawędzie wynikające z tej relacji są.
- $A \times C$ – relacja zachodzi pomiędzy $A_{i,k}$ a $C_{i,i,k}$; krawędź ta jest redukowalna bo mamy ścieżkę poprzez $B_{i,i,k}$.
- $B \times C$ - patrząc na D_5 widzimy, że relacja pomiędzy B i C zachodzi tylko gdy mają tą samą drugą współrzędną i różne współrzędne pierwsze a taka sytuacja nie zachodzi dla jednej podmacierzy.

Wynika nam z tego że nasz zredukowany graf będzie zbudowany z $N-1$ podgrafów dla każdej podmacierzy połączonym pomiędzy sobą krawędziami. W kolejnych rozważaniach będziemy przyjmować, że każdy podgraf dla każdej podmacierzy zawiera tylko tego typu krawędzie, bo wiemy że pozostałe znikną w redukcji a dążymy do zredukowanej postaci.

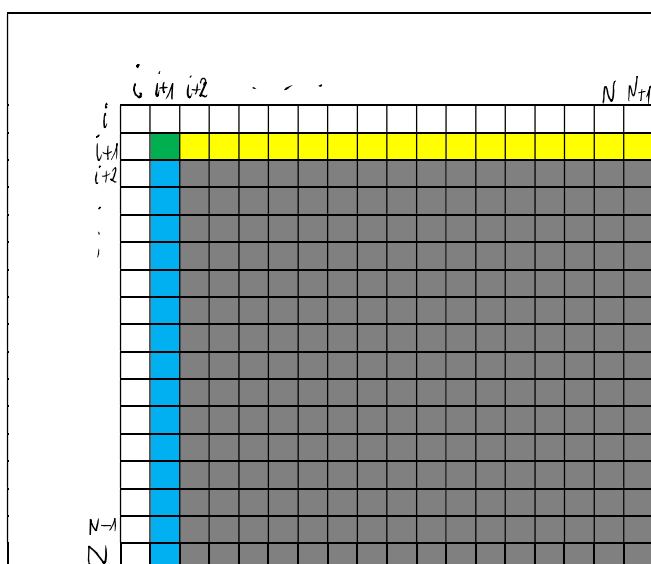
W kolejnym etapie pokażę jakie krawędzie istnieją w pełnym grafie pomiędzy dwiema sąsiednimi macierzami. Weźmy podmacierz i oraz $i+1$. Po analizie słowa ω wiemy, że istnieją tylko krawędzie z podgrafu dla podmacierzy i do podgrafu $i+1$ i nie istnieje ścieżka rozpoczynająca się w podgrafie $i+1$, która posiadała by wierzchołki z podgrafu i . Aby pokazać jakie krawędzie łączą te podgrafy przedstawię kilka rysunków macierzy.

Oznaczenia kolorów:

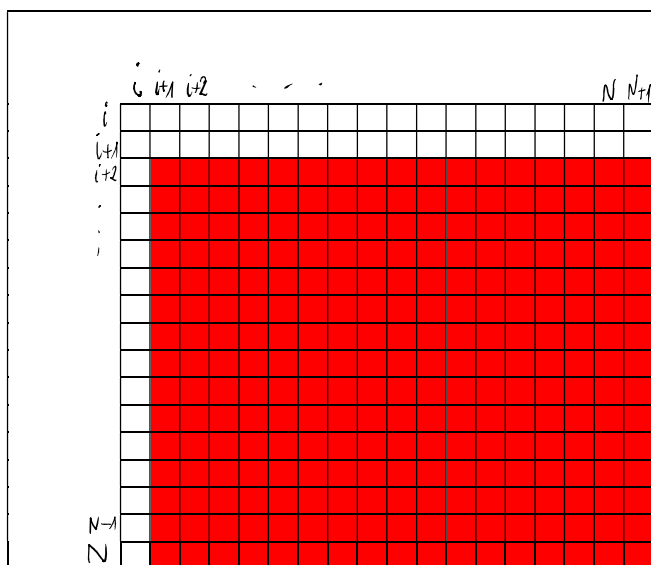
- czerwony – pola modyfikowane przez zadanie C
- szary + niebieski – pola odczytywane przez zadanie C
- niebieski – pola odczytywane przez zadanie A
- zielony – pole odczytywane przez każde zadanie A
- żółty + zielony – pola odczytywane przez zadanie B



Rysunek 2: Pola modyfikowane przez podmacierz i .



Rysunek 3: Pola odczytywane przez podmacierz $i+1$.



Rysunek 4: Pola modyfikowane przez podmacierz $i+1$.

Rysunek 2 ukazuje nam pola, które zmienia podmacierz i , wiemy, że każde z tych pól oznacza zadanie C wykonane na tym polu. A więc ok każdego takiego zadania prowadzi krawędź do każdego z zadań, które odczytują to pole w podmacierzach większych od i . W szczególności możemy odczytać z rysunku 3 do których zadań w podmacierzy $i+1$ prowadzi. Zauważmy, że jeśli dane pole jest odczytywane przez dwa różne zadania to jesteśmy w stanie zredukować każdą z krawędzi oprócz do zadań z najwyższej z hierarchii. Hierarchia zadań to oczywiście A, B, C . Dzieje się tak ponieważ jeśli dane pole odczytuje zadanie A i B to istnieje krawędź z A do B w podgrafie $i+1$, analogicznie dla pozostałych. Natomiast ta krawędź, która pozostanie jest nieredukowalna bo z zadania C z podgrafu i prowadzą tylko krawędzie do niższych podmacierzy, więc jeśli prowadzi do zadania niższego w hierarchii to na pewno nie ma krawędzi do zadania wyżej, a jeśli do dalszych podmacierzy to też nie da się wrócić ścieżką do tego zadania. Więc pokazaliśmy, że każda tak utworzona krawędź występuje w zredukowanym grafie zależności. Teraz opiszę te krawędzie.

Zadanie C które zmienia element o indeksie $(i+1, i+1)$ trafia do każdego zadania typu A . Zadania C które zmieniają elementy z $i+1$ kolumny trafiają w odpowiednie zadania typu A . Zmieniające $i+1$ wiersz trafiają w zadania typu B . Natomiast zadania zawarte w podmacierzy $i+2$ trafiają na zadania typu C . Zapisując to formalnie dla zadań C pochodzących z i podmacierzy otrzymujemy następujący zbiór krawędzi.

$$C_i = \{(C_{i,i+1,i+1}, A_{i+1,k}) : k \in \{i+2, \dots, N\}\} \cup \{(C_{i,i+1,k}, A_{i+1,k}) : k \in \{i+2, \dots, N\}\} \\ \cup \{(C_{i,j,i+1}, B_{i+1,j,k}) : j \in \{i+2, \dots, N+1\}; k \in \{i+2, \dots, N\}\} \\ \cup \{(C_{i,j,k}, C_{i+1,j,k}) : j \in \{i+2, \dots, N+1\}; k \in \{i+2, \dots, N\}\}$$

Na koniec pokażę, że mamy już opisane wszystkie potrzebne krawędzie do postaci zredukowanej. Mamy opisane krawędzie w każdym podgrafie. Wiemy, że nie istnieją krawędzie z podmacierzy i do podmacierzy o mniejszym indeksie. Opisaliśmy krawędzie z podmacierzy i do podmacierzy $i+1$. Pozostaje pokazać, że każdą krawędź z podmacierzy i do podmacierzy $i+k$, gdzie k większe od 1 da się zredukować. Zauważmy, że jeśli wierzchołek jest w podmacierzy $i+k$ to oznacza że pole które zmienia lub odczytuje ma indeksy co najmniej $i+k$. Z tego faktu wynika, że w każdej podmacierzy o indeksie mniejszym niż $i+k$ istnieje zadanie C , które to pole modyfikuje (porównanie rysunków 2 i 3). A więc w szczególności istnieje takie zadanie $C(i)$ w podmacierzy i , $C(i+1)$ w podmacierzy $i+1$ itd. aż do zadania $C(i+k-1)$. Natomiast zadanie z podmacierzy $i+k$ nazwijmy X . Teraz z poprzednich rozważań wiemy, że istnieje krawędź pomiędzy $C(i)$ i $C(i+1)$, $C(i+1)$ i $C(i+2)$, ..., $C(i+k-1)$ i X , a więc istnieje ścieżka od $C(i)$ do X taka która nie zawiera krawędzi $(C(i), X)$, więc krawędź ta jest redukowalna.

Podsumowując graf Dickerta zawiera krawędzie dla każdego podgrafu takie jak w zbiorach P oraz krawędzie z podmacierzy i do podmacierzy $i+1$ dla każdego sensownego i . Są to wszystkie krawędzie grafu Dickerta. Wierzchołki grafu Dickerta to elementy słowa, które pokrywają się z alfabetem.

$$G = \left\{ E = \bigcup_{i=1}^{N-1} P_i \cup \bigcup_{i=1}^{N-2} C_i \right\}$$

8. Postać Normalna Foaty

Z wcześniejszych obserwacji, zauważamy, że nie możemy wykonywać operacji z warstwy i dopóki nie wyliczą się prawie wszystkie (oprócz lewej kolumny, która i tak nie bierze udziału w dalszych obliczeniach) zadania z warstwy $i-1$. Natomiast patrząc na podgraf dla danej podmacierzy możemy go podzielić na trzy klasy Foaty: wszystkie zadania typu A, wszystkie zadania typu B, wszystkie zadania typu C. Widzimy, że nie ma możliwości wykonania szybciej tych zadań (nie istnieje zadanie w klasie drugiej, które możemy wykonać w klasie pierwszej i analogicznie dla klasy trzeciej). A więc z tego wynika że klasy Foaty będą wykonywać podmacierz po podmacierzy dzieląc każdą z nich na trzy klasy Foaty. Formalnie będzie to wyglądać następująco.

$$F_i = [A_{i,k}][B_{i,j,k}][C_{i,j,k}] \text{ dla } j \in \{i, \dots, N+1\}; k \in \{i+1, \dots, N\}$$

$$FNF = F_1 F_2 \dots F_N$$

Można łatwo pokazać dowód indukcyjny, że dla każdego elementu w danej klasie Foaty nie da się go przenieść do wyższej klasy Foaty. Pokazuje nam to, że jest to prawidłowa postać normalna Foaty.

9. Implementacja schedulera

Implementację wykonałem w języku Python. Składa się ona z kilku części, które poniżej omówię. Aby uruchomić program należy w folderze z plikiem `gaussian_elimination.py` posiadać pliki `in.txt` i `out.txt`, które odpowiednio zawierają macierz wejściową oraz wyniki eliminacji.

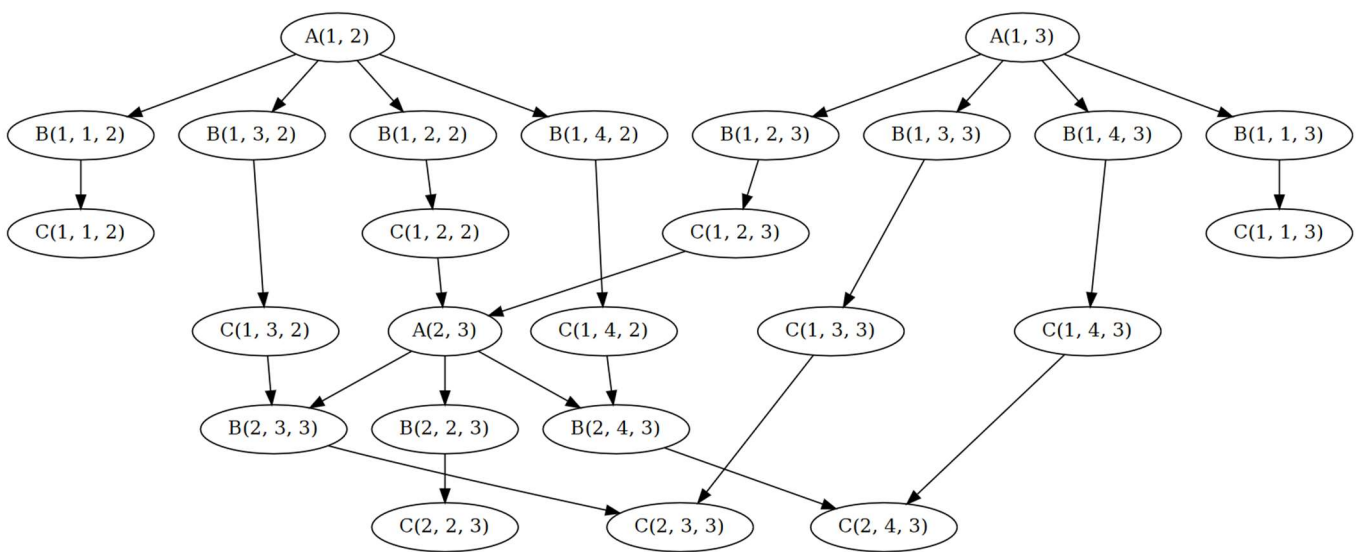
Program zawiera klasę `Scheduler`. Jest to prosta klasa która zawiera listę zadań do wykonania. Jako parametr możemy podać ilość wątków na której będzie działać `Scheduler`. Klasa posiada metodę `add_task`, która służy do dodawania zadań do listy, metodę `clear` do czyszczenia listy zadań oraz metodę `run`, która wykonuje zadania. Metoda `run` korzysta z `ThreadPoolExecutor`, który pozwala symulować współbieżne wykonywanie zadań. Dodatkowo dodałem w niej opcjonalne permutowanie zadań na potrzeby ćwiczenia, aby pokazać że permutacja zadań w danej klasie Foaty nie zmienia rezultatu.

Klasa `GaussianElimination` jako argumenty przyjmuje macierz oraz jej rozmiar. Ma zaimplementowane zadania A, B i C. Metoda `run` przechodzi po kolejnych klasach Foaty wyznaczonych wyżej i dla każdej z nich uruchamia scheduler. Na końcu wynik jest

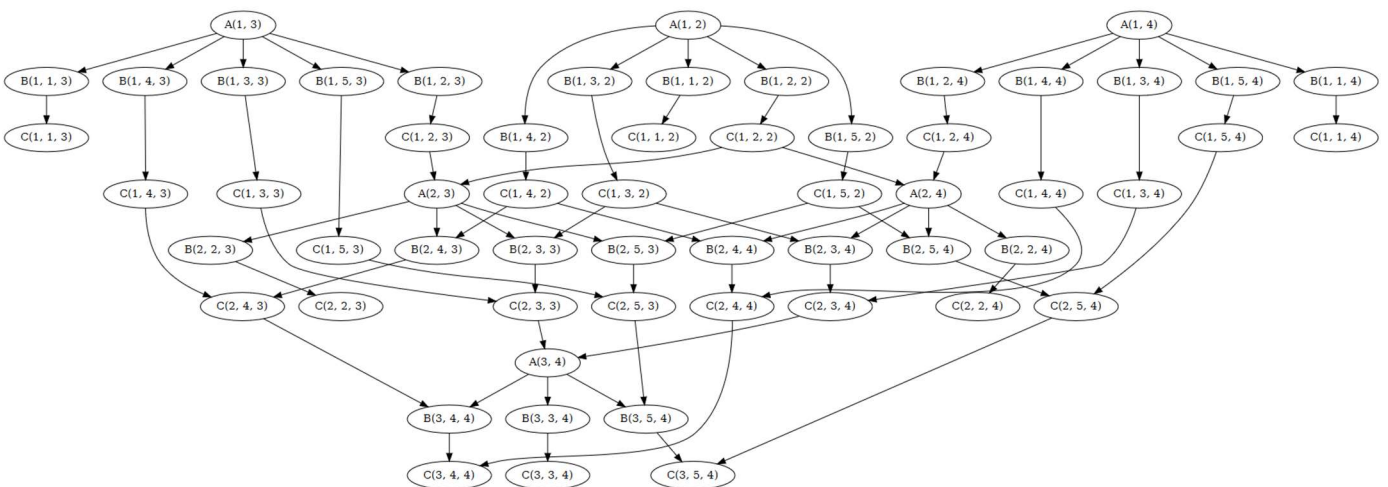
normalizowany i następuje podstawianie wsteczne, aby dostosować rezultat do macierzy wygenerowanej w programie Java.

Dodatkowo w programie znajdziemy funkcję do odczytywania macierzy z pliku oraz funkcję zapisującą do pliku.

Napisałem również funkcję, która z pomocą biblioteki graphviz rysuje graf Dickerta. Dodaje ona najpierw do grafu wierzchołki, a później krawędzie zgodnie z wcześniejszym wyprowadzeniem. Dla małych N uzyskujemy sensowne wizualizacje, które pokrywają się z materiałem przedstawionym na ćwiczeniu. Funkcję tą umieściłem w pliku `draw_graph.py`. Należy ją wywołać z argumentem N .



Rysunek 5: Graf Dickerta dla $N = 3$.



Rysunek 6: Graf Dickerta dla $N = 4$.

10. Wnioski

- Otrzymywane wyniki są zgodne z wynikami generowanymi przez program z ćwiczeń, więc implementacja przebiegła prawidłowo.
- Zadanie pozwoliło szerzej spojrzeć na eliminację Gaussa.
- Dla dużych macierzy FNF pozwala na przyspieszeniu działania wykorzystując równoległe działanie.
- Gdybyśmy jako pojedyncze zadanie dali jedno drzewo takie jak na rysunku 1 można by zaimplementować szybki program, który nie stracił by poprzez rozdzielenie zadań, a wykonując je równoległe można by zyskać przyspieszenie. Zadania te dla każdej podmacierzy można by wykonywać równoległe.